

تغییرات آنزیم‌های دخیل در دفاع آنتی اکسیدانی طی مراحل اول زندگی ماهیان قزل‌آلای رنگین‌کمان پرورش یافته در تراکم‌های مختلف

سمیرا شریفی^۱، امیر پرویز سلاطی^{۱*}، پیمان اسدیان^۲، عین‌الله گرجی‌پور^۳، حسین مرادیان^۳

(۱) گروه شیلات، دانشکده منابع طبیعی دریا، دانشگاه علوم و فنون دریایی خرمشهر، خرم‌شهر - ایران

(۲) گروه پاتوبیولوژی، دانشکده دامپزشکی، دانشگاه لرستان، خرم‌آباد - ایران

(۳) موسسه تحقیقات علوم شیلاتی یاسوج - ایران

(دریافت مقاله: ۱۳۹۲ تیر ماه ۲۶، پذیرش نهایی: ۱۰ مهر ماه ۱۳۹۲)

چکیده

زمینه مطالعه: تراکم دخیره‌سازی به عنوان یک فاکتور استرس بیولوژیکی در آبزی پروری شناخته شده است و می‌تواند ترکیبات ژنتیکی، بعضی فاکتورهای استرس، فعالیت‌های آنزیمی و مصرف اکسیژن را تحت تأثیر قرار دهد. هدف: در این مطالعه تغییرات آنزیم‌های آنتی اکسیدانی، سوپر اکسید دسموتاز (SOD)، کاتالاز (CAT) و گلوتاتیون پراکسیداز (GPX) در تخم و لارو قزل‌آلای رنگین‌کمان *Oncorhynchus mykiss* طی نگهداری در تراکم‌های ذخیره‌سازی مختلف مورد بررسی قرار گرفت. روشن کار: سه گروه از تخم‌های در ترافها (اعداد $10 \times 9 \times 5$ cm³)، حجم 10 L) با تراکم 400 تخم در لیتر (گروه ۱ به عنوان تراکم متداول)، 200 تخم در لیتر (گروه ۲ به عنوان تراکم پایین) و 60 تخم در لیتر (گروه ۳ به عنوان تراکم بالا) و درسه تکرار پرورش داده شدند. تخم‌های در ترافهای آب‌شیرین جریان دار بادمای $C^0/8$ نمونه برداری در روز لقاد (۱)، تسهیم (۳)، ارگان زایی (۸)، چشم زدگی (۱۶)، تخم گشایی (۳۱) و شروع تغذیه فعال (۴۸) صورت گرفت. نتایج: افزایش معنی داری در فعالیت آنزیم‌های SOD و GPX از چشم زدگی تا تخم گشایی دیده شد. (p < 0.01) فعالیت این آنزیم‌ها تا شروع تغذیه فعال کاهش یافتند (p < 0.001)، در ضمن این فعالیت در مقایسه با لقاد، بیشتر بود. تغییرات مشابهی در فعالیت SOD و GPX در تراکم‌های پایین و بالا (گروه ۲ و ۳) مشاهده گردید. فعالیت CAT تا ارگان زایی در مقایسه با لقاد، افزایش یافت و پس از آن، کاهش معنی داری را تا شروع تغذیه فعال در مقایسه با لقاد نشان داد (p < 0.001). الگوی تغییرات فعالیت CAT در تراکم بالا مشابه با تراکم متداول بود اما گروه‌های با تراکم پایین تازمان چشم زدگی بیشترین بود. فعالیت آنزیم‌های CAT، SOD و GPX در روزهای نمونه برداری در میان گروه‌های مختلف، اختلاف معنی داری نشان ندادند (p < 0.05). نتیجه‌گیری نهایی: نتایج به دست آمده نشان داد که تراکم‌های مورد استفاده در این مطالعه اثری بر تکامل سیستم دفاع آنتی اکسیدانی در مراحل اولیه زندگی قزل‌آلای رنگین‌کمان ندارند.

واژه‌های کلیدی: آنزیم‌های آنتی اکسیدانی، تراکم، لارو، پراکسیداسیون لیپید، قزل‌آلای رنگین‌کمان

تولید گونه‌های واکنش‌گر اکسیژن (ROS) در زندگی هوایی اجتناب

نایاب است، از این رو همه ارگانیسم‌های هوایی دارای مکانیسم‌های گوناگونی برای به حداقل رساندن اثرات ناشی از ROS هستند. این مکانیسم‌های شامل آنزیم‌های حذف کننده ROS، ترکیبات با وزن مولکولی پایین که مستقیماً ROS را حذف می‌کنند (که در جانوران منشأ درون زاد داشته یا از غذا به دست می‌آید) و پروتئین‌هایی که مسئول جدا کردن پرواکسیدان‌ها به خصوص آهن و مس هستند، می‌باشند. تعدادی از این مکانیسم‌ها، شامل بعضی آنزیم‌های آنتی اکسیدانی در حد بالایی در جریان سیر تکامل حفظ شده‌اند. در میان مهره داران این مکانیسم‌ها در روند تکامل حفظ شده‌اند (۴). از آنجاکه ماهی مخصوصاً در مراحل اولیه زندگی نسبت به تغییرات واپسیه به محیط مانند دما، اکسیژن و آلودگی آسیب پذیراست، مراحل جنینی و لاروی ماهی از حساسیت و اهمیت بالایی برخوردار می‌باشند (۲۲) و شناسایی روند تغییرات سیستم دفاع آنتی اکسیدانی می‌تواند به طراحی استراتژی مناسب تثییر نماید. دفاع آنتی اکسیدانی غیر آنزیمی مشاهده شده در پستانداران، در ماهی نیز مشاهده شده است (۱۸). اما با وجود شباهت‌های بسیار بین دفاع آنتی

مقدمه

ایمنی یک مکانیسم مهم فیزیولوژیک در حیوانات برای محافظت آنها در مقابل عفونت‌ها و تنظیم محیط داخلی بدن می‌باشد. اینمی می‌تواند غیراختصاصی (مکانیسم دفاع ذاتی میزبان در مقابل عفونت‌ها) بوده و یا اکتسابی (فرآیند اختصاصی در پاسخ به عوامل خارجی خاص) باشد. ماهی از نظر تکاملی از ابتدایی ترین مهره داران بوده و سیستم اینمی آن نیز تکامل کمتری نسبت به حیوانات خونگرم دارد. سیستم اینمی غیر اختصاصی در مهره داران ابتدایی نقش بیشتری نسبت به سیستم اینمی دارد (۹). در ماهی مکانیسم‌های دفاع مختلفی در اینمی غیر اختصاصی وجود دارد که شامل ۱-سد دفاعی بافت‌های بوشی (اپیتلیوم بوست و آبشش) ۲-مولکول‌های دفاع غیراختصاصی هومورال (پروتئینهای فاز حاد، لاکتاز، اینترفرون، کمپلمان، پروپرین، لیزین، آگلوتینین، لکتین، تریپسین، سایتوکین، پرسیپتین، پروتئین باند شده با یونهای فلزی و بازدارنده‌های پروتئیناز و ایکوزانوئیدها) می‌باشد.



برای جلوگیری از انтрат نور با استفاده از پوشش کارتن پلاست، تخم‌های تاریکی قرار گرفتند. جهت نمونه برداری لروها تازمان شروع تغذیه فعال که حدود ۵/۵ روز طول کشیدن گهداری شدند. در طی اجرای پروژه اکسیژن محلول و دمای آب به صورت روزانه و pH آب به صورت هفتگی اندازه گیری شدند. دبی آب نیز هر هفته یک بار اندازه گیری شد. با توجه به درجه حرارت آب ($10/8^{\circ}\text{C}$) انکوباسیون تخم‌ها، نمونه برداری در زمان های ۱ (لماج)، ۳ (تسهیم)، ۸ (ارگان زایی)، ۱۶ (چشم زدگی)، ۳۱ (تخم گشایی) و ۴۸ (شروع تغذیه فعال) صورت گرفت. تعیین مرحله تکاملی بر اساس زمان‌های مشخص شده در مطالعات بافت شناسی انجام گرفت. نمونه‌ها در ازت مایع فریز شدند و تازمان آنالیز در دمای $4/8^{\circ}\text{C}$ - نگهداری گردیدند.

اندازه گیری فعالیت آنزیم‌ها: برای ارزیابی سیستم دفاع آنتی اکسیدانی، فعالیت آنزیم‌های GPX، CAT و SOD و $10/8^{\circ}\text{C}$ از نمونه‌های تخم (تعداد تخم در 1g برابر با 13°C عدد تخم) همگن کردن، $0/40^{\circ}\text{C}$ در مدت 10 min دور 7400 rpm به مدت 10 min دور 40°C استفاده شد. بعد از عمل سانتریفیوژ، مایع رویی توسط سمپلر جدا گردید. اندازه گیری کاتالاز بر اساس روش Goth در سال ۱۹۹۱، اندازه گیری فعالیت آنزیم GPX به روش Valentine و Paglia در سال ۱۹۶۷ و سپر اکسید دی‌سیمو تاز بر اساس روش Marklund در سال ۱۹۷۴ صورت پذیرفت.

کلیه داده‌ها به صورت میانگین \pm انحراف معیار (SD) آورده شده است. جهت تجزیه و تحلیل آماری داده‌های حاصل از انجام آزمایشات، از نرم افزار SPSS (Version 16) استفاده شد. برای تعیین تفاوت بین میزان فعالیت آنزیم‌ها در تراکم‌ها و مراحل مختلف از One-way ANOVA استفاده شد و در صورت نشان دادن اختلاف، از پس آزمون دانکن جهت استفاده شد و در صورت نشان دادن اختلاف، از پس آزمون دانکن جهت مقایسه اختلاف میانگین‌ها استفاده گردید. وجود یا عدم وجود اختلاف معنی داری در سطح آماری $0/05^{\circ}\text{C}$ و $0/01^{\circ}\text{C}$ تعیین شد. جهت تعیین میانگین، انحراف معیار و خطای استاندارد از آمار توصیفی استفاده گردید.

نتایج

دمای آب، میزان اکسیژن ورودی و pH در طول دوره انکوباسیون اندازه گیری شدند. دمای آب با میانگین $10/59^{\pm}0/19^{\circ}\text{C}$ در طول آزمایش تقریباً ثابت بود. میانگین pH، $8/04^{\pm}0/23$ ، میانگین اکسیژن ورودی $25\text{ mg/L}^{\pm}0/25$ و دبی آب $7/93^{\pm}0/7\text{ L/min}$ ثبت گردیدند.

فعالیت SOD در روز لقا (1) در تراکم‌های پایین، متداول و بالا به ترتیب $5/95^{\pm}0/11$ ، $6/10^{\pm}0/60$ units/mg protein و $40/0^{\pm}0/11$ و $5/40^{\pm}0/11$ و $6/10^{\pm}0/60$ units/mg protein گیری شد (تصویر ۱). افزایش معنی داری در فعالیت SOD تازمان چشم زدگی نسبت به لقا در تراکم متداول دیده شد ($p < 0/01$)، اما پس از آن

اکسیدانی، اختلافات مهمی نیز بین گونه‌های ماهی و پستاندار وجود دارد (۱۱). از این رو با توجه به گسترش پرورش قزل‌آلای رنگین‌کمان در کشور این مطالعه با هدف ارزیابی تغییرات دفاع آنتی اکسیدانی در مراحل اولیه زندگی واژه تراکم پرورش براین سیستم صورت پذیرفت.

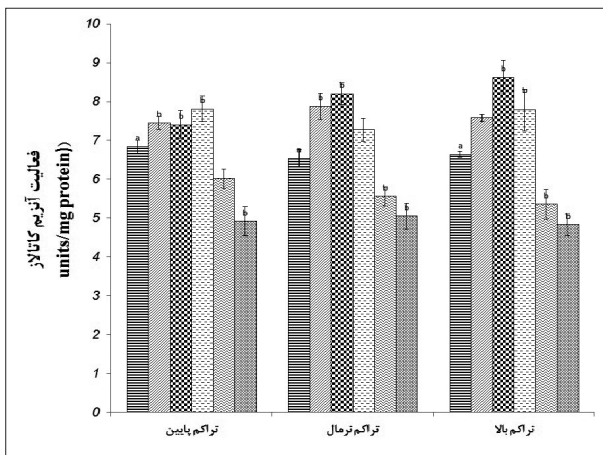
مواد و روش کار

تکثیر مصنوعی مولدین: تعداد پنج عدد مولد ماده ۴ ساله (میانگین وزن $5/22\text{ g}$ و $3/2240 \pm 35\text{ g}$ عدد مولد نفر ۴ ساله (میانگین وزن $1750 \pm 22\text{ g}$) بعد از بررسی رسیدگی جنسی و تأیید رسیدگی جنسی آنها، به وان‌های مخصوص منتقل و با ماده بیوهش کننده پودر گل میخک ($150/200\text{ g}$) بیوهش شدند (۲۷). مولدین بیوهش شده از اوان ها خارج شده و با آب تمیز شسته شود و شدند. بدنه مولدین به آرامی با حolle خشک و با فشار به شکم مولد ماده تخم گیری انجام شد. تخم‌ها درون یک تشت ریخته و سپس اسپرم اضافه گردید. عمل لقا به روش مصنوعی و خشک با اختلاط تخمک و اسپرم بدون مایعات تخدمانی و آب همراه انجام گرفت. بعد از لقا تخم‌های مدت $20-30\text{ min}$ با آب به تدریج شسته تضاعیفات آن خارج شده و آب حاوی تخم‌ها کاملاً شفاف گردد. در مرحله بعدی منظور سفت شدن تخم‌ها، مقداری از آب چشمی تأمین کننده سالن انکوباسیون به تخم‌ها اضافه گردید و اجازه داده شد تا حدود 45 min ذب آب طول بکشد.

طرح آزمایش: پس از انجام عملیات لقا، هنگامی که تخم‌های خوبی آب جذب نمودند با استفاده از پوآر اقدام به جمع آوری تخم‌های سفید و لقا نیافنیه گردید و تخم‌های لقا یافته به سالن انکوباسیون تخم‌بادمای $10/8^{\circ}\text{C}$ ، انتقال داده شدند و در سه تراف تحقیقاتی 10 liter که هر کدام حاوی سه سینی بابعاد $10\text{ cm} \times 5/5 \times 9/16$ بودند، توزیع گردیدند. در این مطالعه جهت بررسی روند تکامل سیستم دفاع آنتی اکسیدانی و اثر تراکم بر تکامل این سیستم در ماهی قزل‌آلای رنگین‌کمان، تخم‌هادرسه تراکم متفاوت پرورش داده شدند. تراکم متداول (400 egg/L)، تراکم پایین (200 egg/L) و تراکم بالا (600 egg/L) که تخم‌هادره سه تراکم در سه تکرار با شرایط یکسان پرورشی توزیع گردیدند. جهت شمارش تخم از صفحات شمارش تخم استفاده گردید. این صفحات دارای تعداد مشخصی سوراخ هستند که در قطرهای مختلف طراحی شده اند. این صفحات به داخل تشت حاوی تخم فرو بردند و به تعداد سوراخ‌ها، بر روی آن تخم قرار گرفت. در این تحقیق برای از بین بردن اثرات دوره انکوباسیون سینی‌های مربوط به هر تکرار به صورت متناوب در تراف‌های مختلف قرارداده شدند.

در طول دوره انکوباسیون از 48 ساعت بعد از لقا تاروز شانزدهم بعد از لقا (شروع چشم زدگی) ضد عفونی بر اساس دستورالعمل بخش بهداشت مرکز به روش شستشو به صورت روزانه توسط مالاشیت گرین با دوز $5/0\text{ ppm}$ به مدت 30 min صورت گرفت. در طول مدت انکوباسیون





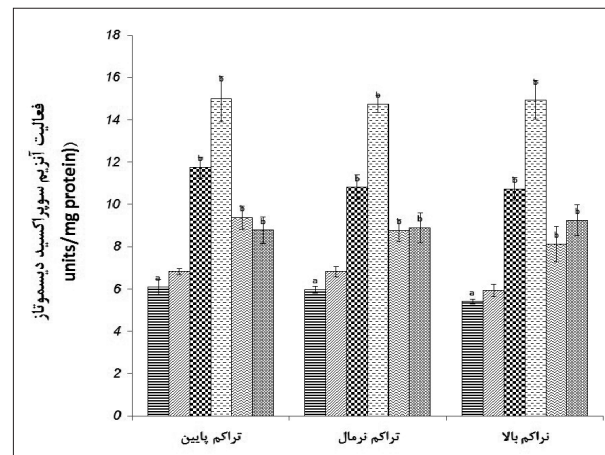
تصویر ۲. نتایج فعالیت CAT (units/mg protein) در روزهای مختلف نمونه برداری (للاح ■ تسهیم □ ارگان زایی ▨ چشم زدگی ▨ تفریخ ▨ شروع تغذیه فعال) در هر یک از تراکم‌ها ۲۰۰ egg/l، ۴۰۰ egg/l و ۶۰۰ egg/l. داده‌ها به صورت mean±SD بیان شده‌اند.

داری کاسته شد ($p<0.001$). در تراکم‌های پایین، متداول و بالا فعالیت GPX در روز للاح (۱) به ترتیب 4.95 ± 0.28 units/mg protein، 4.4 ± 0.28 و 4.26 ± 0.31 و 4.4 ± 0.26 اندازه گیری شد (تصویر ۳). نتایج به دست آمده در تراکم متداول نشان داد که فعالیت GPX در زمان تفریخ افزایش قابل توجهی در مقایسه با زمان‌های قبلی نمونه برداری دارد. سپس از فعالیت GPX در شروع تغذیه فعال به میزان زیادی کاسته شد، اما سطح فعالیت این آنزیم نیز کمکان در شروع تغذیه فعال نسبت به سطح فعالیت آن در زمان للاح، بیشتر بود ($p<0.001$). در دو تراکم بالا و پایین نیز تغییرات فعالیت آنزیم مانند آنچه در تراکم متداول ثبت گردید تا زمان تفریخ روندی افزایشی نشان داد و پس از آن کاهش یافت.

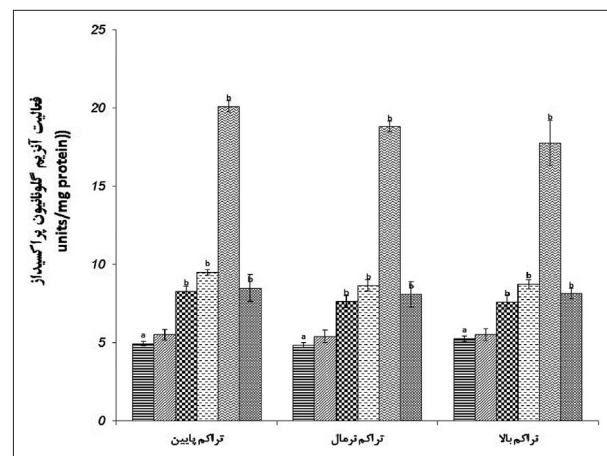
در تیمارهای مورد مطالعه اختلاف معنی‌داری در فعالیت SOD، CAT و GPX در هر یک از زمان‌های نمونه برداری، روزهای للاح، تسهیم، ارگان زایی، چشم زدگی، تفریخ و شروع تغذیه فعال مشاهده نشد ($p>0.05$).

بحث

نتایج حاصل از این مطالعه، فعالیت آنزیم‌های مورد بررسی را در مراحل ابتدایی زندگی قزل آلا رنگین کمان اندک نشان داد که می‌تواند ناشی از سطوح بالای آنتی اکسیدان‌های با وزن مولکولی پایین در مراحل ابتدایی تشکیل باشد. Rudneva در سال ۱۹۹۹ با بررسی کوسه ماهی (Neogobius melanostomus) (Squalus acanthias)، گاوماهی گرددخزی (Proterorhinus marmoratus) نتایج مشابهی به دست آورد. Guerriero و همکاران در سال ۲۰۰۴ سطوح بالایی از ویتامین E را در تخم باس دریابی قبول و بعد از للاح و جنین‌های سالم برخلاف تخمهای جنینی مرده و Mani-Ponset در سال ۱۹۹۶ نیز



تصویر ۱. نتایج فعالیت SOD (units/mg protein) در روزهای مختلف نمونه برداری (للاح ■ تسهیم □ ارگان زایی ▨ چشم زدگی ▨ تفریخ ▨ شروع تغذیه فعال) در هر یک از تراکم‌ها ۲۰۰ egg/l، ۴۰۰ egg/l و ۶۰۰ egg/l. داده‌ها به صورت mean±SD بیان شده‌اند.



تصویر ۳. فعالیت GPX (units/mg protein) در روزهای مختلف نمونه برداری (للاح ■ تسهیم □ ارگان زایی ▨ چشم زدگی ▨ تفریخ ▨ شروع تغذیه فعال) در هر یک از تراکم‌ها ۲۰۰ egg/l، ۴۰۰ egg/l و ۶۰۰ egg/l. داده‌ها به صورت mean±SD بیان شده‌اند.

فعالیت SOD تا شروع تغذیه فعال به طور معنی‌داری در تراکم نرمال کاهش یافت ($p<0.001$). در شروع تغذیه فعال سطح فعالیت این آنزیم در مقایسه با زمان للاح بیشتر بود. روند افزایشی و کاهشی مشابهی در تغییرات فعالیت SOD در تراکم‌های پایین و بالا مشابه تراکم متداول مشاهده گردید. فعالیت CAT در روز للاح (۱) در تراکم‌های پایین، متداول و بالا به ترتیب 6.83 ± 0.31 ، 6.53 ± 0.39 و 6.63 ± 0.13 units/mg protein ثبت گردید (تصویر ۲). در تراکم متداول فعالیت CAT ارگان زایی در مقایسه با للاح، افزایش یافت و پس از آن، کاهش معنی‌داری را تا شروع تغذیه فعال در مقایسه با للاح نشان داد ($p<0.001$). تغییرات فعالیت CAT در تراکم بالا مشابه با تراکم متداول بود اما فعالیت CAT در تراکم پایین تازمان چشم زدگی افزایش معنی‌داری در مقایسه با روز للاح نشان داد و پس از آن، از فعالیت این آنزیم نسبت به روز للاح به طور معنی



فاکتورهای استرس، فعالیت‌های آنزیمی و مصرف اکسیژن را تحت تأثیر قرار دهد. با اعمال تراکم، افزایش در تقاضای انرژی با تغییر تنظیمات متابولیک جبران می‌شود (۲۰، ۲۸) و می‌توانند تولید ROS را افزایش دهند. همچنین گزارش شده که تراکم یک پاسخ هماتولوژیک جهت جبران افزایش نیاز به اکسیژن فراهم می‌کند (۲۴). Trenzado و همکاران در سال ۲۰۰۹ با بررسی اثر تراکم بر روی قزل آلای رنگین کمان یافته‌ند که تعداد گلbulوهای قرمز و همچنین هموگلوبین در گروه‌هایی با تراکم بالاتر در مقایسه با گروه‌هایی با تراکم پایین ترجهت جبران افزایش نیاز به اکسیژن، افزایش نشان دادند، اما فعالیت CAT و GPX با اعمال تراکم تحت تأثیر قرار نگرفت. Li و همکاران در سال ۲۰۰۶ اثرات تراکم ذخیره سازی را بررسی کردند. آنها تغییرات معنی داری در فعالیت آنزیم‌های SOD و میکروگلوبولین‌هایی که در مطالعه حاضر مورد بررسی قرار دادند، آنها تأیید کننده نتایج مطالعه حاضر می‌باشد. Aksakal و همکاران در سال ۲۰۱۱ با بررسی افزایش تراکم ذخیره سازی بر روی عوامل بازدارنده آنزیم‌های متابولیک آنتی اکسیدانی شامل گلوکز-۶-فسفات دهیدروژنаз (G6PD)، ۶-فسفogلوكونات دهیدروژناز (6PGD) و گلوتاتیون ردوکتاز (GR) در بافت‌های کبد، کلیه، آبشش و عضله در قزل آلای رنگین کمان مشاهده کردند که افزایش تراکم ذخیره سازی فعالیت متابولیک آنتی اکسیدانی مهم در تمام بافت‌ها بجز کلیه را تضعیف می‌کند.

اندازه گیری مقادیر آنزیم‌های آنتی اکسیدانی SOD، CAT و GPX در مطالعه حاضر نشان داد که طی مراحل رشد و نمو جنبین به خوبی دربرابر خطرات ناشی از رادیکال‌های آزاد محافظت می‌شود، اما پس از تغییر جنین، فعالیت این آنزیم‌ها کاهش یافته و مقدار پراکسیداسیون لبیید رو به افزایش می‌گذارد که نشان دهنده عدم تعادل بین آنزیم‌های آنتی اکسیدانی و افزایش تولید MDA و خطرات ناشی از استرس اکسیداتیو است. از این رونیاز به افزودن آنتی اکسیدان‌های مکمل به جیره غذایی مولدین و جیره آغازین لارو پیشنهاد می‌شود. همچنین تراکم‌های اعمال شده در این تحقیق تأثیر معنی داری بر فعالیت آنزیم‌ها نشان ندادند.

تشکر و قدردانی

از دانشگاه علوم و فنون دریایی خرم‌شهر به جهت پشتیبانی مالی این پژوهش تشکر و قدردانی می‌گردد.

References

- Aceto, A., Amicarelli, F., Sacchetta, P., Dragan, B., Bucciarelli, T., Masciocco, L., Miranda, M., Dillio, C. (1994) Developmental aspects of detoxifying enzymes in fish (*Salmo irideus*). Free Radic Res.

نتیجه‌ای مشابه در ماهی سیم دریایی (*Sparus aurata*) باس دریایی (*Stizostedion lucioperca*) و ماهی سوف (*labrax Dicentrarchus*) گزارش کردند. علت افزایش در فعالیت آنزیم‌های GPX، CAT و SOD طی روزهای بعدی را می‌توان القای فعالیت آنها جهت مقابله با رادیکال‌های آزاد تولید شده دانست (۲۲). Rudneva-Titova در سال ۱۹۹۶ با بررسی تکامل جنبینی و لاروی ماهیان دریای سیاه افزایش فعالیت آنزیم‌های آنتی اکسیدانی SOD و CAT را مشاهده کردند. در سی باس آسیایی (*Lates calcarifer*) نیز فعالیت آنزیم‌های آنتی اکسیدانی در طی روند تکامل جنبین روند افزایشی نشان داد. در حالی که آنتی اکسیدان‌هایی با وزن مولکولی پایین مانند ویتامین C و GSH کاهش یافته‌ند (۱۰). Sanz و همکاران در سال ۲۰۱۰ افزایش فعالیت آنزیم SOD در طول دوره جنبینی (*Acipenser naccarii*) و Aceto و همکاران در سال ۱۹۹۴ افزایش تدریجی فعالیت SOD و CAT را در قزل آلای رنگین کمان (*Salmo irideus*) در مراحل اولیه جنبینی نشان دادند که مشابه نتایج مطالعه حاضر است. در میکوگی آب شیرین نیز Subramanian در سال ۱۹۹۸ با بررسی روند تکامل جنبینی (*Macrobrachium malcolmsonii*) نتایج مشابهی به دست آورده که با یافته‌های این مطالعه هم خوانی دارد. پس از افزایش در فعالیت آنزیم‌های SOD، CAT و GPX و همکاران در سال ۱۹۹۶ معنی داری نیز در فعالیت این آنزیم‌ها تا شروع تغذیه فعال مشاهده گردید. در مطالعه انجام شده توسط Moyano و همکاران در سال ۱۹۹۶ علت روند کاهشی آنزیم‌های SOD، CAT و GPX در لاروهای تخم گشایی شده ناشی از کاهش سطوح پروتئین در طول تکامل رشد و نمو بیان شده است. میزان پروتئین در مرحله لاروی کمتر از تخم است که این ناشی از کاهش مقدار کوربیون و مایع پری و بیتلین در مرحله لاروی گزارش شده است (۱۵). Peters و Livingstone در سال ۱۹۹۶ در سفره ماهی (*Scophthalmus maximus*) در طول تکامل جنبین از ۱۱ روز پس از تخم گشایی و Dandapat و همکاران در سال ۲۰۰۳ کاهش فعالیت SOD را در اواسط تکامل لاروی (*rosenbergii*) ثبت کردند. کاهش فعالیت آنزیم‌های GOX، SOD، Macrobrachium و CAT در مرحله لاروی باس دریایی (*Lates calcarifer*) (۱۰) و کاهش فعالیت آنزیم CAT و GPX در مرحله لاروی Dentex dentex (۱۵) گزارش شده است. کاهش فعالیت SOD در مرحله لاروی احتمالاً می‌تواند ناشی از کاهش تولید و قابلیت دسترسی به O₂- باشد. زیرا GSH نیز می‌تواند O₂- سیستم سلولی را حذف و کاهش فعالیت SOD را جبران کند (۸، ۳۰).

فعالیت آنزیم‌های CAT، SOD و GPX و غلظت MDA در روزهای مختلف دوره نمونه برداری بین سه تراکم متداول، پایین و بالا، اختلاف معنی داری نشان ندادند (۰/۰-۰/۵). تراکم ذخیره سازی به عنوان یک فاکتور استرس بیولوژیکی در آبزی پروری شناخته شده است. شرایط محیطی مانند تراکم ذخیره سازی می‌تواند ترکیبات ژنتیکی، بعضی



- 21: 285-294.
2. Aksakal, E., Ekinci, D., Erdogan, O., Beydemir, S., Alim, Z., Ceyhun, S.B. (2011) Increasing stocking density causes inhibition of metabolic-antioxidant enzymes and elevates mRNA levels of heat shock protein 70 in rainbow trout. *Livest Sci.* 141: 69-75.
 3. Dandapat, J., Chainy, G.B.N., Rao, K.J. (2003) Lipid peroxidation and antioxidant defence status during larval development and metamorphosis of giant prawn, *Macrobrachium rosenbergii*. *Comp Biochem Physiol.* 135C: 221-233.
 4. Di Giulio, R.T., Hinton, D.E. (2008) *The Toxicology of Fishes.* (1st ed.) CRC Press, Taylor and Francis Group. Boca, Raton, USA.
 5. Fontagné, S., Lataillade, E., Brèque, J., Kaushik, S. (2008) Lipid peroxidative stress and antioxidant defence status during ontogeny of rainbow trout (*Oncorhynchus mykiss*). *Br J Nutr.* 100: 102-11.
 6. Goth, L. (1991) A simple method fpor determination of serum catalase activity and revision of reference range. *Clin Chim Acta.* 196: 143-152.
 7. Guerriero, G., Ferro, R., Russo, G.L., Ciarcia, G. (2004) Vitamin E in early stages of sea bass (*Dicentrarchus labrax*) development. *Comp Biochem Physiol.* 138: 435-439.
 8. Hussain, S., Slikker, J.r.W., Ali, S.F. (1996) Role of metallo-thionein and other antioxidants in scavenging superoxideradicals and their possible role in neuroprotection. *Neurochem Int.* 29: 145-152.
 9. Iwama, G., Nakanishi, T. (1996) *Innate Immunity In Fish.* (1st ed.) Academic Press. London, UK.
 10. Kalaimani, N., Chakravarthy, N., Shanmugham, R., Thirunavukkarasu, A.R., Alavandi, S.V., Santiago, T.C. (2008) Anti-oxidant status in embryonic, post-hatch and larval stages of Asian seabass (*Lates calcarifer*). *Fish Physiol Biochem.* 34: 151-158.
 11. Kennish, J.M., Russell, M.L., Netzel, S.J. (1989) The role of iron chelates in the NADPH-dependent oxidation of 2- keto-4- thiomethylbutyric acid (KMBA) by rainbow trout and Pacific salmon microsomal fractions. *Mar Environ Res.* 28: 87-91.
 12. Li, Y., Li, J., Wang, Q. (2006) The effects of dissolved oxygen concentration and stocking density on growth and non-specific immunity factors in Chinese shrimp, *Fenneropenaeus chinensis*. *Aquaculture.* 256: 608-616.
 13. Maklund, S. (1974) Involvement of superoxide anion radical in autoxidation of pyrogallol and a convenient assay of superoxide dismutase. *Eur J Biochem.* 46: 469-474.
 14. Mani-Ponset, E., Guyot, J.P., Connes, D.R. (1996) Utilization of yolkreserves during post-embryonic development in three teleostean species: the sea bream *Sparus aurata*, the sea bass *Dicentrarchus labrax* and the pike-perch *Stizostedion lucioperca*. *Mar Biol.* 126: 539-547.
 15. Mourente, G., Tocher, D.R., Di'az, E., Grau, A., Pastor, E. (1999) Relationships between antioxidants, antioxidant enzyme activities and lipid peroxidation products during early development in *Dentex dentex* eggs and larvae. *Aquaculture.* 179: 309- 324.
 16. Moyano, F.J., Díaz, M., Alarcón, F.J., Sarasquete, M.C. (1996) Characterization of digestiveenzyme activity during larvaldevelopment of gilthead seabream (*Sparus aurata*). *Fish Physiol Biochem.* 15: 121-130.
 17. Nafisi behabadi, M. (2009) *An Applied Guide for Cultivation of rainbow Trout.* Hormozgan University Press. Hormozgan, Iran.
 18. Nimmo, I.A. (1987) The glutathione S-transferases of fish. *Fish Physiol Biochem.* 3: 163-172.
 19. Paglia, D.E., Valentine, W.N. (1967) Studies on the quantitative and qualitative characterization of erythrocyte glutathione peroxidase. *J Lab Clin Med.* 70: 158-169.
 20. Rudneva, I.I. (1999) Antioxidant system of Black Sea animals in early development. *Comp Biochem Physiol.* 122C: 265- 271.
 21. Rudneva-Titova, I.I. (1996) Blood antioxidant system of elasmobranchii and some teleost species of Black Sea fish (in Russian). *J Evol Biochem Physiol.* 32: 197-203.
 22. Sanz, A., Díaz, M.E., Furné, M., Trenzado, C.E., García-Gallego, M., Domezain, A. (2010) Anti-



- oxidant defences in the first life phases of the sturgeon. *Aquaculture*. 307: 123-129.
- Subramanian, P., Arun, S. (1998) Antioxidant enzymes in fresh water prawn *Macrobrachium malcolmsonii* during embryonic and larval development. *Comp Biochem Physiol*. 121B: 273-277.
24. Trenzado, C.E., Morales, A.E., de la Higuera, M. (2006) Physiological effects of crowding in rainbow trout, *Oncorhynchus mykiss*, selected for low and high stress responsiveness. *Aquaculture*. 258: 583-593.
25. Trenzado, C.E., Morales, A.E., Palma, J.M., Higuera, M. (2009) Blood antioxidant defenses and hematological adjustments in crowded/uncrowded rainbow trout (*Oncorhynchus mykiss*) fed on diets with different levels of antioxidant vitamins and HUFA. *Comp Biochem Physiol*. 149: 440-447.
26. Van der Boon, J., van den Thillart, G.E.E.J.M., Addink, A.D.F. (1991) The effects of cortisol on intermediary metabolism in teleost fish. *Comp Biochem Physiol*. 100: 47-53.
27. Velisek, J., Svobodova, Z., Piaakova, V. (2005) Effects of clove oil anesthesia on rainbow trout (*Oncorhynchus mykiss*). *Acta Vet Brno*. 74: 139-146.
28. Vijayan, M.M., Ballantine, J.S., Leatherland, J.F. (1990) High stocking density alters the energy metabolism of brook charr, *Salvelinus fontinalis*. *Aquaculture*. 88: 371-381.
29. Winterbourn, C.C., Metodiewa, D. (1999) Reactivity of biologically important thiol compounds with superoxide and hydrogen peroxide. *Free Radic Biol Med*. 27: 322-328.



Alterations to antioxidative enzymes in early life stages of rainbow trout (*Oncorhynchus mykiss*) reared in different densities

Sharifi, S.¹, Salati, A.P.^{1*}, Asadian, P.², Gorjipor, E.³, Moradian, H.³

¹Department of Fisheries, Faculty of Marine Natural Resources, Khorramshahr University of Marine Science and Technology, Khorramshahr-Iran

²Department of Veterinary Sciences, Faculty of Veterinary Medicine, University of Lorestan, Khorramabad-Iran

³Iranian Fisheries Research Organization, Yasouj-Iran

(Received 16 July 2013 , Accepted 2 October 2013)

Abstract:

BACKGROUND: Stocking density induced stress that affects energy intake, growth rate, enzymatic activity and oxygen consumption in fish. **OBJECTIVES:** In this study the development of antioxidant enzyme Glutathione peroxidase (GPX), catalase (CAT) and superoxide dismutase (SOD) in egg and larvae of rainbow trout (*Oncorhynchus mykiss*) that kept in different stocking density was investigated. **METHODS:** Four groups of eggs, cultured in pans (size 16×9.5×10 cm, volume 10 L) with density of 400egg/l (group1 as routine density), 200egg/l(group2 as low density) and 600egg/l(group3 as high density) in triplicate. Eggs were held in tanks supplied with flow-through freshwater at 10.8°C. samples were taken at day1 (fertilization), 3 (Cleavage), 8(organogenesis), 16 (eyed egg), 31 (hatch) and 48 (active feeding). **RESULTS:** A significant increase in GPX and SOD activity was seen from fertilization till eggs were eyed. ($p<0.001$). The activity of these enzymes decreased to active feeding ($p<0.001$), meanwhile this activity was higher than the fertilization starts. Similar changes were seen in SOD and GPX activities in higher and lower densities (Group 2, 3). CAT activity increased from fertilization to organogenesis and then toward active feeding significantly decreased in compare to fertilization ($p<0.001$). Pattern of changes of catalase activity in high density group was similar to routine density but in low density group it was higher until eggs were eyed. GPX, SOD and CAT activities did not show significant difference in similar days among different groups ($p<0.05$). **CONCLUSIONS:** Our results showed that rearing densities used in this study could not affect antioxidant defense development in early life stages of *O. mykiss*.

Key words: antioxidant enzymes, crowding, larvae, lipid peroxidation, *Oncorhynchus mykiss*

Figure Legends and Table Captions

Figure 1. Activity of SOD (units/mg protein) in different sampling days (fertilization, Cleavage, organogenesis, eyed egg, hatch and active feeding) in 200 egg/l, 400 egg/l and 600 egg/l densities.

Figure 2. Activity of CAT (units/mg protein) in different sampling days (fertilization, Cleavage, organogenesis, eyed egg, hatch and active feeding) in 200 egg/l, 400 egg/l and 600 egg/l densities.

Figure 3. Activity of GPX (units/mg protein) in different sampling days (fertilization, Cleavage, organogenesis, eyed egg, hatch and active feeding) in 200 egg/l, 400 egg/l and 600 egg/l densities.



*Corresponding author's email: salatia@gmail.com, Tel: 0632-4234725, Fax: 0632-4234725

J. Vet. Res. 68, 4:389-395, 2013